

## کنترل پیش‌بینانه کیفیت با استفاده از شبکه‌های عصبی مصنوعی (ANNs) و روش ترکیبی تحلیل رگرسیون و ANNs

نجمه نشاط<sup>۱</sup>، هاشم محلوجی<sup>۲</sup>

۱. دانشجوی کارشناسی ارشد، دانشکده مهندسی صنایع، دانشگاه صنعتی شریف، ایران

۲. استاد، دانشکده صنایع، دانشگاه صنعتی شریف، ایران

(تاریخ دریافت: ۱۳۸۷/۱۱/۲۶، تاریخ تصویب: ۱۳۸۸/۱۰/۲۰)

### چکیده

در این مقاله با ارایه نمونه عملی فرآیند اسپری دراینگ، متداول‌تری مدل‌سازی فرآیندها با استفاده سلسله مراتبی از تحلیل رگرسیونی و الگوریتم شبکه عصبی مصنوعی، با هدف کنترل پیش‌بینانه کیفیت، برای نخستین بار تشریح و پیاده‌سازی شده است. استفاده از ANNs در این مقاله، به منظور معماری مدل عصبی فرآیند اسپری دراینگ با اتخاذ یک رویکرد عمومی و انتخاب الگوریتم پس انتشار خطا به کمک داده‌های مستقیم است. فرض تاثیر مثبت اعمال تحلیل رگرسیونی بر ارتقا پایایی مدل عصبی، با محاسبه و تحلیل شاخص‌های ارزیابی پایایی مدل که عبارتند از: ضریب تعیین ( $R^2$ )، میانگین خطای نسبی (MRE) و جذر میانگین مربعات خطأ (RMSE)، برای مدل عصبی و مدل عصبی-آماری (مدل عصبی با اعمال تحلیل رگرسیونی) تایید شد. در انتها با توجه به نتایج ارزیابی پایایی، سناریوهای مختلفی برای تنظیم ورودی‌های فرآیند توسط مدل عصبی-آماری فرآیند طراحی شد که با استفاده از آن می‌توان کنترل پیش‌بینانه را جایگزین روش‌های مبتنی بر سعی و خطأ برای کنترل فرآیند کرد.

**واژه‌های کلیدی:** کنترل پیش‌بینانه، شبکه عصبی مصنوعی، مدل‌سازی، اسپری دراینگ

#### ۱. مقدمه

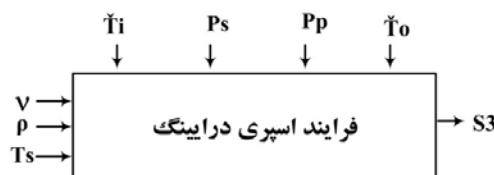
لازمه پیش‌بینی کیفیت محصول در هر فرآیند، مدل‌سازی و کشف رابطه بین عواملی است که می‌توانند بر کیفیت خروجی فرآیند تاثیرگذار باشند. در سال‌های اخیر، شبکه‌های عصبی مصنوعی (ANNs) به عنوان یک الگوریتم فرا ابتکاری در زمینه مدل‌سازی و پیش‌بینی، مورد توجه بسیار قرار گرفته است که این محبوبیت را می‌توان به توانایی و قابلیت‌های برجسته ANNs در زمینه مدل‌سازی و پیش‌بینی علی الخصوص در مورد فرآیندهای پیچیده مربوط دانست. قابلیت اطمینان بالا در حذف و تشخیص نوسانات غیر تصادفی در داده‌ها<sup>[۱۸]</sup>، توانایی در کشف اثرات متقابل بین متغیرها<sup>[۹]</sup>، صرفه‌جویی اقتصادی قابل توجه در به کارگیری، فراغت از مفروضات و قیود دست و پاگیر مدل‌های کلاسیک<sup>[۲۴]</sup> و توانایی کاهش تاثیر متغیرهای غیر موثر بر مدل از طریق تنظیم پارامترهای داخلی<sup>[۴]</sup>، از جمله ویژگی‌هایی است که موجب شده است تا این الگوریتم فرا ابتکاری را بر دیگر روش‌های کلاسیک مدل‌سازی و پیش‌بینی از جمله رگرسیون برتری دهد. از نخستین مطالعات انجام شده در زمینه مدل‌سازی فرآیندهای تولیدی، می‌توان به مقاله‌ای که در سال ۱۹۸۶ میلادی توسط مهرورترا<sup>[۱۱]</sup> نوشته شد، اشاره کرد. در این مقاله، مدل‌سازی فرایند تولید کاشی سرامیکی از طریق تشریح کمی روابط بین متغیرها در قالب معادلات ریاضی صورت گرفت. آندرسن و همکاران<sup>[۲]</sup> نیز سعی کردند تا با مدل‌سازی فرآیند و به کارگیری شبکه پس انتشار خطای، نسبت به پیش‌بینی کیفیت فرآیند جوشکاری، در یک تجربه آزمایشگاهی اقدام کنند. از دیگر مطالعات انجام شده در زمینه مدل‌سازی فرآیند می‌توان به مقاله‌ای که توسط اسمیت و داگلی<sup>[۲۰]</sup> با موضوع پیش‌بینی کیفیت فرآیند شکل‌دهی لوله PVC با استفاده از ANNs و تحلیل رگرسیونی انتشار یافت، اشاره کرد. در این مطالعه، انتخاب اولیه متغیرهای پیشنهادی مدل عصبی بر اساس نتایج تحلیل ضرایب انفرادی مدل رگرسیونی، صورت پذیرفت. مطالعه بعدی منسوب به مارتینز و همکاران<sup>[۱۳]</sup> است؛ در این مطالعه مدل عصبی با هدف کاهش ضایعات در فرآیند شکل‌دهی ارایه شد. در اصل در این مطالعه، از شبکه عصبی به عنوان ابزاری برای شناسایی و طبقه‌بندی الگو استفاده شد. اندکی بعد، بن برهمی و همکاران<sup>[۲۳]</sup> نیز برای صنایع سرامیکی (چینی بهداشتی) با به کارگیری الگوریتم پس انتشار خطای اقدام به مدل‌سازی و پیش‌بینی فرآیند شکل‌دهی چند متغیره کردند. سو و هسیه<sup>[۲۲]</sup> مدل‌سازی و بهبود عملکرد کیفی را

با به کارگیری الگوریتم پس انتشار خطا (بر اساس قانون گرادیان نزولی) و اتخاذ رویکرد تاگوچی برای فرآیند تولید نیمه هادی‌ها، مورد مطالعه قرار دادند. در سال ۲۰۰۰ میلادی یک سیستم پیوندی متشکل از تکنیک‌های بهبود الگوریتمی، شبکه عصبی و منطق فازی در صنعت کاشی سرامیکی توسط لام و همکاران<sup>[۱۰]</sup> طراحی شد که در این سیستم، با به کارگیری مژاول پیش شبکه عصبی، تنظیمات قبل کنترل فرآیند پیش‌بینی شده و سپس الگوریتم بهبود سیستم با توجه به نتایج پیش‌بینی شده، تابع هدف را بهینه‌سازی می‌کرد. اما در مدل عصبی طراحی شده توسط کوک و همکاران<sup>[۵]</sup> برای پیشگویی استحکام تخته‌های نوپان، پیش‌بینی کیفیت با استفاده از الگوریتم پس انتشار خطا و بهینه‌سازی کیفیت، با استفاده از الگوریتم ژنتیک انجام شد. بهینه‌سازی در مورد فرآیندهای شیمیایی نیز توسط ناسیمنتو و همکاران<sup>[۱۴]</sup> با به کارگیری ANNs انجام شد که در این مطالعه پس از پیش‌بینی کیفیت خروجی توسط شبکه عصبی، بهینه‌سازی پارامترهای شیمیایی با استفاده از روش برنامه‌ریزی غیر خطی صورت گرفت. سپس مطالعه‌ای توسط سوکدوmia و تانوک<sup>[۲۳]</sup> در سال ۲۰۰۵ به منظور مدل‌سازی فرآیند تولید تیغه مورد استفاده در پره هواپیما انجام گرفت که در این مطالعه، عوامل موثر ورودی به مدل عصبی به روش سعی و خطا و با توجه به ضریب تعیین شبکه‌ها، انتخاب شد. در مدل‌سازی فرآیند لعب زنی که با هدف بهینه‌سازی کیفیت خروجی رنگ لعب، توسط ارگینل و آی<sup>[۶]</sup> انجام شد، تکنیک طراحی آزمایش‌ها به کار رفت. در ادامه این فعالیت، مقاله‌ای توسط ستورک و ارگینل<sup>[۱۹]</sup> ارایه شد که در این مطالعه تئوریک استفاده از سیستم استنتاج تطبیقی فازی عصبی و آموزش آن با الگوریتم پس انتشار خطا برای شناسایی سطوح عوامل با به کارگیری روش طراحی آزمایش‌ها، پیشنهاد شد. فعالیت‌های علمی افزوپورکار و همکاران<sup>[۱]</sup> از دیگر مطالعات قبل توجه در این زمینه است که با استفاده از یک مژاول نرم افزاری هوشمند، پیش‌بینی کیفیت فرآیند تولید کاشی انجام شده است. نزدیک ترین مطالعه به مقاله حاضر، مربوط به مطالعه‌ای است که توسط هوسوز و همکاران<sup>[۹]</sup> به منظور پیش‌بینی عملکرد برج خنک کننده با استفاده از ANNs انجام گرفته است. در این مطالعه شاخص عملکرد فرآیند به عنوان مجموعه‌ای از مشخصه‌های کیفی فرآیند از جمله دمای آب تبخیر شده در برج خنک کننده، تعریف شده است. پراتس-مونتالبان و فر<sup>[۱۵]</sup> طی یک مطالعه علمی، فاکتورهای مهم و موثر بر درجه‌بندی

و صفحی کاشی‌های سرامیکی با استفاده از رگرسیون لجستیک و طراحی آزمایش‌ها مورد شناسایی قرار دادند. نکته قابل توجه در مورد تمامی این مطالعات مربوط به ویژگی در بسته بودن (بلک باکس بودن) شبکه‌های عصبی است به طوری که در هر دو مرحله معماری مدل عصبی و تفسیر و بکارگیری خروجی‌های مدل عصبی به عنوان یکی از نقاط ضعف شبکه‌های عصبی به شمار می‌رود. با این توصیف، هدف اساسی این تحقیق اتخاذ رویکردهایی است که با استفاده از آنها بتوان این نقطه ضعف از شبکه‌های عصبی را مرتفع کرده و با ارتقا پایایی مدل عصبی فرآیند بتوان نسبت به کنترل پیش‌بینانه کیفیت اقدام کرد. سوالات اساسی این تحقیق را می‌توان در قالب دو عبارت مطرح نمود: ۱) آیا استفاده از تحلیل رگرسیونی در معماری شبکه عصبی می‌تواند موجب افزایش پایایی مدل عصبی به منظور پیش‌بینی کیفیت فرآیند شود؟ ۲) چگونه می‌توان با استفاده از خروجی‌های پیش‌بینی شده توسط ANNs عملآ نسبت به کنترل پیش‌بینانه فرآیند اقدام نمود؟

## ۲. آشنایی با فرآیند اسپری درایینگ

فرآیند اسپری درایینگ، یکی از مراحل تولید کاشی‌های سرامیکی می‌باشد که در آن، دوغاب کاشی از طریق تجهیزات اسپری درایر به گرانول تبدیل می‌شود. به منظور تبدیل دوغاب به دانه‌های گرانول لازم است تا دوغاب موجود در حوضچه‌ها با "دماهی دوغاب" ( $T_s$ )، تحت "فشار پمپ" ( $P_p$ ) به داخل محفظه اسپری درایر پاشیده شود. همزمان با ورود دوغاب به داخل محفظه اسپری درایر، هوای داغ از طریق سیستم توزیع هوای داغ با "دماهی ورودی" ( $\check{T}_{in}$ ) به بالای محفظه تزریق شده و موجب جذب رطوبت دوغاب و تبدیل آن به دانه‌های گرانول می‌شود. در نهایت با ایجاد جریانات گردابی در داخل محفظه از طریق اعمال "فشار مکش" ( $P_s$ )، ذرات گرانول از طریق شیر تخلیه از محفظه اسپری درایر خارج می‌شود. "فشار مکش" ( $P_s$ ) ایجاد شده با تاثیر به روی سرعت جریانات گردابی، مهلت دانه‌های گرانول را برای به هم پیوستن و حجمی شدن، دستخوش تغییر می‌سازد. گرد و غبار موجود در داخل محفظه که دارای "دماهی خروجی" ( $\check{T}_o$ ) است، توسط سیستم جمع آوری سیکلون‌ها از محفظه خارج می‌شود[۱۷]. با توجه به نحوه تشکیل ذرات گرانول و با علم به ساختار کاری اسپری درایر، P-Diagram فرایند اسپری درایینگ مطابق با نمودار شماره (۱) رسم شده است[۱۷]:



نمودار ۱. فرایند اسپری درایینگ

مطابق با نگاره شماره (۱) متغیر خروجی دانه بندی ( $S_3$ ), که بیانگر وزن ذرات گرانول با قطر بیشتر از ۳۰۰ میکرون در یک نمونه ۱۰۰ گرمی از گرانول خروجی از اسپری درایر می‌باشد، معیاری برای بیان وضعیت دانه بندی گرانول‌ها به عنوان یک مشخصه کیفی فرآیند تعریف می‌شود.

### ۳. تحلیل رگرسیونی متغیرهای فرآیند

انجام تحلیل‌های رگرسیونی متغیرها قبل از مرحله معماری مدل عصبی با هدف جبران ناتوانایی مدل‌های عصبی در شناسایی نحوه تاثیر گذاری متغیرهای ورودی بر متغیر پاسخ انجام می‌گیرد. داده‌های جمع آوری شده از فرآیند اسپری درایینگ به منظور مدل‌سازی عصبی فرآیند، شامل ۱۰۰ نمونه کاملاً تصادفی می‌باشد که هر نمونه، حاوی اطلاعات مربوط به ۷ متغیر رگرسور و یک متغیر پاسخ متناظر با آن است. نتایج تحلیل همبستگی، بین متغیرهای رگرسور و متغیر پاسخ فرآیند اسپری درایینگ، طبق نگاره شماره (۱) قابل مشاهده است.

نگاره ۱. جدول تحلیل همبستگی بین متغیرهای رگرسور و متغیر پاسخ فرایند اسپری درایینگ

$S_3$	$T_s$	$S_{3s}$	$P_s$	$S_3$	$\dot{T}_{in}$	$S_3$	$P_p$	$S_3$	$\dot{T}_o$	$S_3$	$v$	$S_3$	$p$	
-0.007	- 0.05			0.111		0.002		0.249		0.316		0.567		ضریب همبستگی
0.95	0.601			0.297		0.983		0.017		0.002		0.000		Sig
-	-			-		-		+		+		+		وضعیت نهایی

\*علامت "+" بیانگر وجود همبستگی و "-" به منزله عدم وجود همبستگی بین دو متغیر با توجه به نتایج تحلیل همبستگی و همچنین نمودار پراکنش این دو متغیر می‌باشد.

نتایج نگاره شماره (۱)، نشان می‌دهد که از بین هفت متغیر پیشنهادی، تنها سه متغیر  $\gamma$ ،  $P_p$  و  $\check{T}_o$  دارای همبستگی با متغیر پاسخ  $S_3$  است و نتایج تحلیل همبستگی متغیرهای  $P_s$ ،  $P_p$  و  $\check{T}_{in}$  با متغیر پاسخ  $S_3$  ( $Sig < 0.1$ ) و همچنان عدم وجود رابطه غیرخطی این سه متغیر با  $S_3$  (با توجه به نمودار پراکنش) بیانگر این مطلب است که ظاهراً تغییرات این سه متغیر نمی‌توانند تاثیر قابل توجهی بر روی تغییرات  $S_3$  داشته باشد. به منظور شناخت رابطه بین متغیرهای ورودی به مدل، لازم است تا وضعیت همبستگی بین این دسته از متغیرها به صورت دو به دو، طبق نگاره شماره (۲) مشخص گردد (در صورت وجود همبستگی ذکر شده است).

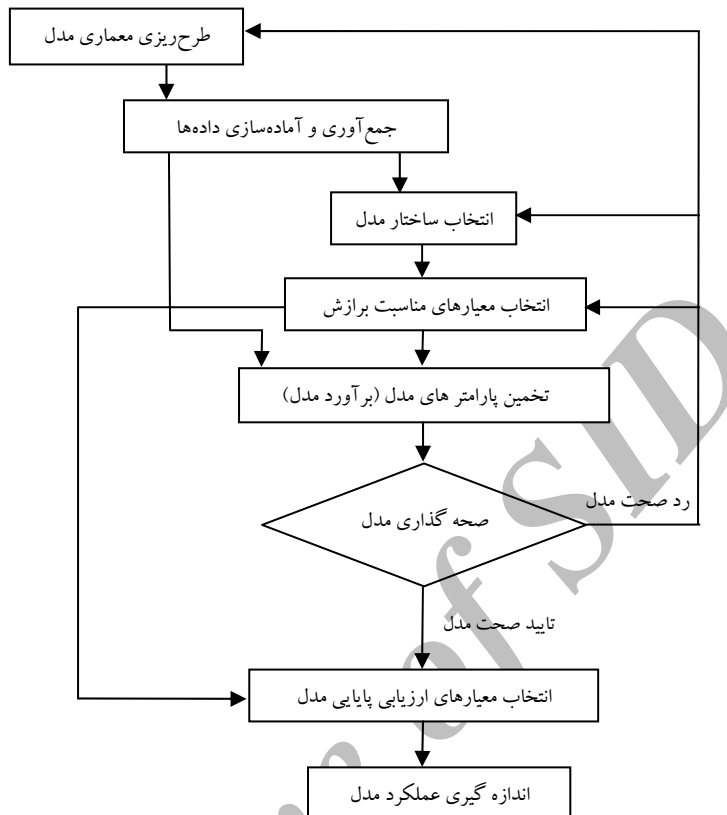
**نگاره ۲. جدول تحلیل همبستگی بین متغیرهای رگرسور در فرآیند اسپری دراینگ**

$P_s$ ,	$\check{T}_o$	$P_p$ ,	$\check{T}_o$	$\check{T}_{in}$ ,	$\check{T}_o$	v,	$\rho$	ضریب همبستگی
0.31		-0.324		0.354		0.477		
0.003		0.035		0.001		0.000		Sig

تحلیل همزمان نتایج نگاره شماره (۱) و نگاره شماره (۲) بیانگر آن است که متغیرهای  $P_s$ ،  $P_p$  و  $\check{T}_{in}$  با تاثیرگذاری مستقیم پر  $S_3$  به طور غیر مستقیم بر آن اثر می‌گذارند و این استنتاج را می‌توان برای  $P_p$ ، با توجه به لزوم برقراری بیلان "جرم" در داخل محفظه و برای  $P_s$ ، با توجه به لزوم برقراری بیلان "حجم" و برای  $\check{T}_{in}$ ، با توجه به لزوم برقراری بیلان "انرژی" توجیه کرد. بنابراین مقادیر متغیر  $\check{T}_o$  به عنوان یک متغیر وابسته به متغیرهای  $\check{T}_{in}$ ،  $P_s$  و  $P_p$  بستگی دارد و برای ارایه مدل عصبی پیش‌بینی  $S_3$  بر حسب متغیرهای  $\gamma$  و  $\check{T}_o$  لازم است تا مقادیر  $\check{T}_o$  بر حسب متغیرهای مستقل آن یعنی  $\check{T}_{in}$ ،  $P_p$  و  $P_s$  با استفاده از الگوریتم ANNs برآورد شود.

#### ۴. متدولوژی مدل‌سازی عصبی فرآیند اسپری دراینگ

انتخاب الگوریتم ANNs با هدف توسعه مدل فرآیند پیچیده اسپری دراینگ با توجه به دستاوردهای مطالعات قبلی در مورد این فرآیند انجام می‌گیرد [۴، ۲۶]. بنابراین در این زیر بند، مراحل هشت‌گانه مدل‌سازی عصبی فرآیند اسپری دراینگ با استفاده از نمودار شماره (۲) (فلوچارت عمومی مدل‌سازی) تشریح می‌گردد.



نمودار ۲. فلوچارت تشریح مراحل مدل سازی فرآیندهای تولیدی

قدم ۱) طرح ریزی معماری مدل: در این مرحله، چهار چوب کلی کار از قبیل هدف از مدل سازی، محدودیت ها و پیش فرض ها مشخص می شود.

قدم ۲) جمع آوری و آماده سازی داده ها: در مدل سازی عصبی با استفاده از ANNs، داده های فراهم شده برای برآذش مدل، لازم است تا در یک عبارت کلی، نماینده جامعه ای باشند که از آن انتخاب شده اند (ارضای شرط یکپارچگی، کفايت و تصادفي بودن). با توجه به ارتباط تعداد داده های برآذش به میزان پیچیدگی فرآيند، لازم است تا تعداد داده های مورد نیاز برای آموزش به صورت افتراضي مشخص شود. سه رویکرد متفاوت برای تهیه داده های برآذش مدل، عبارت اند از ۱) روش مستقیم (پر کاربرد ترین

روش برای مدل‌سازی فرایندهای تولیدی [۸]، ۲) روش شبیه‌سازی و ۳) روش طراحی آزمایش‌ها، که عیب عمدۀ این روش، مدل‌سازی غیر واقعی از فرآیند، هزینه بر بودن آن و همچنین پیش فرض قرار دادن رابطه خطی بین متغیرهای ورودی با متغیر خروجی فرآیند است. مضارف بر شروط یکپارچگی، کفايت و تصادفي بودن، لازم است تا به منظور افزایش کارایی فرایند برآراش قبل از ارایه داده‌ها به مدل، نسبت به پیش پردازش داده‌ها در دامنه‌ای مشخص اقدام شود.

قدم ۳) انتخاب ساختار مدل: انتخاب ساختار مدل عصبی، با توجه به مأموریت شبکه، می‌تواند از چهار مدل اصلی ART، مدل‌های MLP، مدل‌های RAN و یا مدل‌های SOM انتخاب شود. با توجه به کاربرد وسیع مدل‌های MLR در نگاشت روابط خطی و غیر خطی و کاربردهای مهندسی، غالباً در مدل‌سازی فرایندهای تولیدی از مدل MLR استفاده می‌شود [۱۶]. پس از تعیین ساختار کلی مدل، لازم است تا نسبت به تعیین جزیيات ساختار مدل از جمله تعداد نرون لایه ورودی (بر اساس تعداد متغیر ورودی)، تعداد لایه‌های میانی (به روش سعی و خطأ)، تعداد نرون لایه خروجی (بر اساس تعداد متغیر خروجی) و نوع تابع فعال‌سازی (به روش سعی و خطأ)، اقدام شود [۷].

قدم ۴) انتخاب معیارهای مناسب برآراش: مناسبت برآراش مدل در مدل‌سازی عصبی، از طریق توقف فرایند آموزش مدل عصبی مشخص می‌شود. سه معیار برای توقف آموزش در مدل MLR وجود دارد که به محض تحقق هر یک، مرحله آموزش به نشانه مناسبت برآراش و صحت مدل، متوقف می‌شود. این معیارها عبارت‌اند از: ۱) کمتر شدن مقدار میانگین مربعات خطأ (MSE) در هر سیکل یا Epoch از مقدار تعیین شده قبلی، ۲) تغییرات نامحسوس در نرم گرادیان خطأ در تکرارهای متوالی و یا کمتر شدن مقدار نرم گرادیان خطأ از مقدار تعیین شده قبلی و ۳) افزایش تعداد تکرارها از مقدار تعیین شده قبلی [۱۲].

قدم ۵) تخمین پارامترهای مدل (برآورد مدل): تخمین پارامترهای مدل عصبی، در اصل همان ارایه داده‌ها به شبکه و آموزش آن است که با هدف تنظیم پارامترهای داخلی (وزن‌ها و بایاس‌ها) شبکه انجام می‌گیرد. چنان‌چه به شبکه اجازه داده شود تا از طریق تنظیم پارامترهای داخلی، متغیرهای موثر را از متغیرهای غیر مؤثر بر مدل تفکیک کند، رویکرد اتخاذ شده یک رویکرد عمومی است و در صورتی که متغیرهای مؤثر بر مدل، با تکیه به روش‌های دیگر از جمله بهره‌گیری از تحلیل‌های آماری همچون تحلیل واریانس

گزینش شوند، رویکرد اتخاذ شده یک رویکرد مت مرکز است [۲۱]. در مرحله آموزش لازم است تا در مورد پارامترهای اجرای آموزش؛ از جمله نوع الگوریتم آموزش، نرخ یادگیری ( $\alpha$ )، ضریب ممتنم ( $\mu$ )، نحوه ارایه دادهها (تصادفی یا دوره‌ای) و همچنین معیارهای توقف آموزش، تصمیم گیری به عمل آید.

قدم ۶) صحه گذاری مدل: صحه گذاری در مدل‌سازی عصبی، در اصل همان بررسی معیارهای توقف برای دسته‌ای گزینش شده از داده‌های آموزش می‌باشد که داده‌های صحه گذاری نامیده می‌شود. در حین فرایند آموزش معیارهای توقف آموزش برای این دسته از داده‌ها مورد بررسی لحظه به لحظه قرار می‌گیرد و چنانچه آموزش متوقف گردد و تابع خطای فرآیند آموزش (MSE) کمتر از مقدار تعیین شده توسط کاربر باشد فرآیند آموزش به معنای دستیابی به یک مدل قابل قبول متوقف می‌شود.

قدم ۷) انتخاب معیارهای ارزیابی پایایی مدل: معیارهای ارزیابی پایایی که به منظور بررسی قدرت پیش‌بینی مدل عصبی فرآیند انتخاب شده‌اند، عبارت‌اند از [۱۶]: الف) ضریب تعیین ( $R^2$ ) بین مقادیر خروجی واقعی و مقادیر پیش‌بینی شده توسط شبکه که مطابق رابطه (۳) محاسبه می‌گردد.

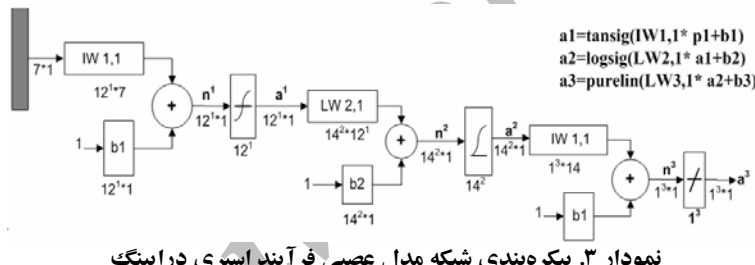
$$R^2 = 1 - \left( \frac{\sum_{i=1}^m (y_i - \hat{y}_i)^2}{\sum_{i=1}^m (y_i - \bar{y})^2} \right)$$

بهترین عملکرد موقعي است که  $R^2$  مقداری نزديک به ۱ داشته باشد و مقدار صفر برای  $R^2$  نشان دهنده آن است که مقادير خروجی برآورده شده توسط مدل به مقادير واقعی خروجی نزديك نمي‌باشد؛ ب) شاخص ميانگين خطاي نسبي (MRE) که نشان دهنده متوسط قدر مطلق نسبت خطاي به مقادير واقعی مي‌باشد و ج) شاخص جذر ميانگين مربعات خطاي (RMSE) که ميانگين مربعات خطاهای محاسبه شده از مقادير واقعی و مقادير پیش‌بینی شده را نشان می‌دهد. هر چه MRE و RMSE مقادير کمتری داشته باشند نشان دهنده آن است که مدل با خطاهای کمتری نسبت به پیش‌بینی مقادير خروجی اقدام می‌نماید.

قدم ۸) ارزیابی پایایی مدل: در این مرحله لازم است تا با توجه به معیارهای انتخاب شده در قدم (۷) و جمع آوری داده‌های مستقل از داده‌های برازش مدل، اما در محدوده‌ای گسترده‌تر (با هدف اندازه‌گیری پایایی در برون یابی و درون یابی مدل)، نسبت به محاسبه و تحلیل پایایی مدل اقدام شود.

### ۵. متدولوژی مدل سازی عصبی و عصبی-آماری فرآیند اسپری دراینگ

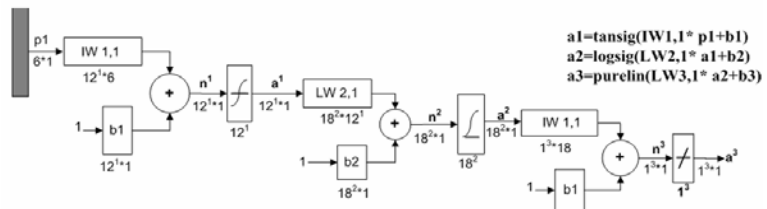
در این مرحله به منظور بررسی تاثیر اعمال تحلیل‌های رگرسیونی بر ارتقاء پایایی مدل عصبی فرآیند اسپری دراینگ، اقدام به معماری دو مدل عصبی با رویکرد عمومی و مدل عصبی-آماری با اتخاذ رویکرد متمرکز (توجه به نتایج تحلیل‌های رگرسیونی در مدل‌سازی عصبی) شده است. با توجه به مطالعات مشابه قبلی در زمینه مدل‌سازی فرآیند اسپری دراینگ [۲۶و۴]، با اتخاذ یک رویکرد عمومی، ساختار MLP و الگوریتم آموزشی پس انتشار خطا PB (مبتنی بر قانون لونبرگ مارکوارت) برای مدل عصبی فرایند اسپری دراینگ انتخاب گردیده است. به منظور دستیابی به بهترین پیکره بندی برای شبکه مدل عصبی فرآیند، شبکه‌های مختلفی شامل ۱ الی ۳ لایه مخفی با تعداد متغیر از نرون لایه مخفی و هم‌چنین توابع محرك متغیر در نظر گرفته شد. نتایج ارزیابی مناسبت هر یک از این شبکه‌ها بر اساس تابع خطای شبکه بیانگر این مطلب بود که شبکه‌ای با دولا لایه مخفی شامل ۱۲ و ۱۴ نرون با تابع محرك تائزانت سیگموئید، لگ سیگموئید و تابع محرك خطی به ترتیب برای لایه‌های آن می‌تواند بهترین پیکره بندی برای شبکه مدل عصبی باشد. جزییات بیشتر این شبکه، در قالب نمودار شماره (۳) قابل مشاهده می‌باشد.



نمودار ۳. پیکره بندی شبکه مدل عصبی فرآیند اسپری دراینگ

در مدل‌سازی عصبی، تمامی ۷ متغیر شناسایی شده و ۱۰۰ داده تهیه شده برای برآذش مدل مورد استفاده قرار می‌گیرد. در مدل‌سازی عصبی-آماری فرایند در ابتدا با توجه به نتایج تحلیل رگرسیون، مقدار متغیر  $T_0$  با استفاده از الگوریتم ANNs برآورد شده و سپس مقادیر برآورد شده  $T_0$  و مقادیر اندازه گیری شده  $P$  و هم‌چنین مقادیر  $T_{in}$ ,  $P_{in}$ ،  $P_S$  و  $P_P$  به مدل ارایه می‌شود. ارایه مقادیر  $T_{in}$ ,  $P_{in}$  و  $P_S$  به مدل عصبی-آماری فرآیند به دلیل وجود همبستگی بین این متغیرها با متغیر  $T_0$  صورت می‌گیرد زیرا این همبستگی می‌تواند نشانه‌ای بر وجود اثرات متقابل بین متغیرها و تاثیرگذاری بر  $S_3$  باشد. نتایج رگرسیونی لحاظ شده

در معماری مدل عصبی-آماری عبارت اند از: ۱) وجود ۹ نمونه پرت در نمونه ۱۰۰ تایی داده های برآزش مدل، ۲) عدم تاثیر گذاری متغیر  $T_S$  بر متغیر پاسخ  $S_3$  و ۳) احتمال وجود اثرات متقابل بین متغیر های  $\tilde{T}_{in}$ ,  $P_S$  و  $Lzom$  حضور این متغیرها در مدل. پیکره بندی شبکه مدل عصبی-آماری فرآیند اسپری دراینگ طبق روالی مشابه با پیکره بندی شبکه مدل عصبی انجام گرفت و جزئیات آن در قالب نمودار شماره (۴) قابل مشاهده می باشد. نتایج ارزیابی مناسبت شبکه های پیشنهادی بر اساس تابع خطای شبکه بیانگر این مطلب بود که شبکه ای با دولایه مخفی شامل ۱۲ و ۱۸ نرون با توابع محرک تائزانت سیگموئید، لگ سیگموئید و تابع محرک خطی به ترتیب برای لایه های آن می تواند بهترین پیکره بندی برای شبکه مدل عصبی-آماری باشد.



نمودار ۴. پیکره بندی شبکه مدل عصبی-آماری فرآیند اسپری دراینگ

به منظور دستیابی به پیکره بینه شبکه و یا به عبارتی برآزش مدل، داده های برآزش مدل عصبی و عصبی-آماری فرایند با استفاده از نرم افزار MATLAB، به مدل ها ارایه و آموزش انجام گرفت. معیارهای مناسبت برآزش مدل های عصبی و عصبی-آماری فرآیند اسپری دراینگ و نتایج کسب شده در لحظه توقف آموزش مطابق با نگاره شماره (۳) ارایه شده است.

### نگاره ۳. جدول معیارهای و نتایج توقف آموزش مدل عصبی و عصبی-آماری فرآیند اسپری

نتایج در لحظه توقف			معیارهای توقف		
GRAD	Epoch	MSE	GRAD	Epoch	MSE
0.0015223	19	0.023765	1e-010	100	1e-005
=					
0.0010241	19	0.058235	1e-010	100	1e-005

مدل عصبی

مدل عصبی-آماری

مدل‌های عصبی و عصبی-آماری پس از برآش با استفاده از شاخص‌های ارزیابی پایایی، و یک مجموعه داده ۲۸ تایی به عنوان داده‌های ارزیابی پایایی مدل که مستقل از داده‌های آموزش بوده و در محدوده‌ای گسترده‌تر جمع‌آوری شده‌اند، تحت اندازه‌گیری پایایی قرار گرفته و نتایج  $R^2 = 73.49$  و گرم  $MRE = 1.44$  برای مدل عصبی فرایند و نتایج  $R^2 = 79.12$  و گرم  $MRE = 1.682$  برای مدل عصبی-آماری فرآیند اخذ شد.

#### ۶. بحث و بررسی نتایج

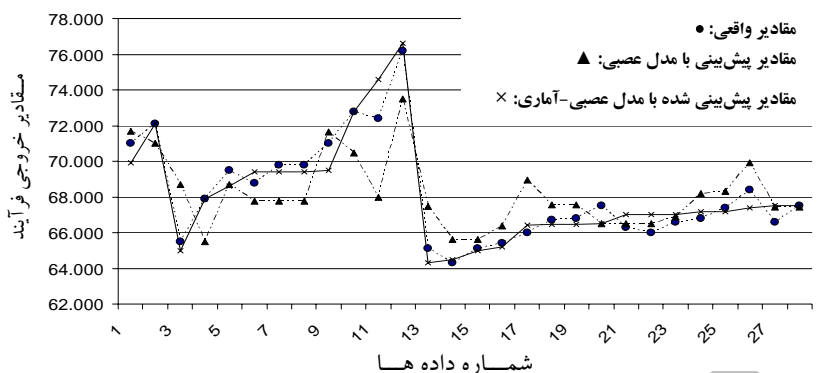
نتایج ارزیابی پایایی مدل‌های عصبی و عصبی-آماری با به کارگیری سه شاخص ارزیابی پایایی در قالب نگاره شماره (۴) قابل مشاهده می‌باشد.

نگاره ۴. جدول نتایج ارزیابی پایایی برای مدل عصبی و عصبی-آماری فرآیند اسپری دراینگ

RMSE	MRE	$R^2$	
1.44	1.92%	73.49%	مدل عصبی
1.343	1.682%	79.12%	مدل عصبی-آماری

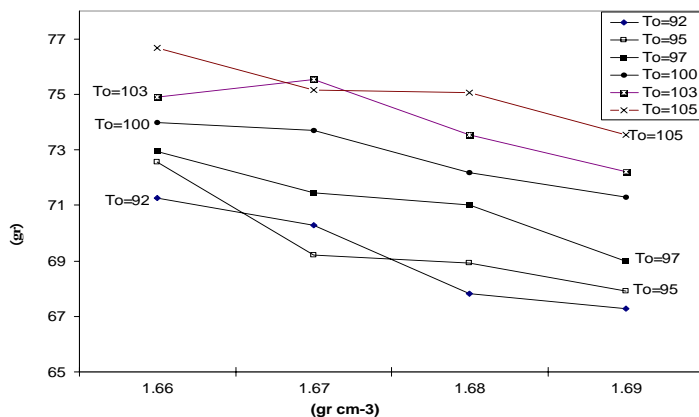
با مقایسه نتایج ارزیابی پایایی این دو مدل می‌توان بهبود ۵.۶۳ در ضریب تعیین، کاهش ۰.۲۴ در میانگین خطای نسبی و کاهش ۰.۰۹۷ گرم در جذر میانگین مربعات خطای را در مدل عصبی-آماری در مقایسه با مدل عصبی مشاهده کرد و از این طریق تاثیر اعمال تحلیل‌های رگرسیونی را در بهبود قدرت پیش‌بینی مدل عصبی فرآیند اسپری دراینگ، مثبت ارزیابی کرد. ذکر این نکته ضروری به نظر می‌رسد در صورتی که برای پیش‌بینی فرآیند الزام به برآورد  $\check{T}_0$  و تحمل خطای ناشی از این برآورد وجود نداشته باشد مدل عصبی-آماری عملکرد بهتری را نشان می‌داد.

به منظور تحلیل بین داده‌ای مقادیر پیش‌بینی شده برای  $S_3$  توسط مدل‌های عصبی و عصبی-آماری فرآیند اسپری دراینگ، نمودار روند شماره (۵) برای داده‌های ۲۸ تایی ارزیابی پایایی، رسم گردیده است.



نمودار ۵. نمودار روند مقادیر پیش‌بینی شده با مدل عصبی و عصبی-آماری در مقایسه با مقادیر واقعی برای داده‌های ۲۸ تایی ارزیابی پایاپی

در این نمودار که به منظور سهولت مقایسه و نمایش پایاپی مدل عصبی-آماری در مقابل مدل عصبی ارایه شده است، مقادیر واقعی خروجی فرآیند ( $S_3$ ) با علامت دایره و به همین ترتیب علامت مثلث و ضربدر نشان دهنده مقادیر پیش‌بینی شده توسط مدل عصبی و مدل عصبی-آماری فرآیند است. با مشاهده مغایرت بین مقادیر واقعی و مقادیر پیش‌بینی شده توسط مدل‌های عصبی و عصبی-آماری، بهخصوص در محدوده‌ای خارج از محدوده طبیعی تغییر خروجی فرآیند (نمونه‌های شماره ۱۲، ۱۳، ۱۴، ۱۵، ۱۶) می‌توان به پایاپی مدل عصبی-آماری در درون‌یابی و برونویابی مقادیر  $S_3$  در مقایسه با مدل عصبی پی برد. به منظور کنترل پیش‌بینانه کیفیت با استفاده از خروجی‌های مدل عصبی-آماری فرآیند اسپری دراینینگ سناریوهای مختلفی برای تنظیم ورودی‌های فرآیند، در دامنه‌ای گسترده از دامنه نرمال تغییرات متغیرها، در قالب نمودار شماره (۶) ارایه شده است، همان‌گونه که در این نمودار مشاهده می‌شود، مقادیر  $S_3$  در حالی که در دامنه ۰.۹۶۹ الی ۱.۶۹ گرم بر سانتی‌متر مکعب و  $\check{T}_0$  در دامنه ۹۲ الی ۱۰۵ درجه سانتی‌گراد تغییر می‌نمایند، توسط مدل "عصبی-آماری" برآورد شده است.



نمودار ۶. سناریوهای مختلف تنظیم ورودی‌ها بر اساس دانسیته و دمای خروجی با استفاده از مدل "عصبی-آماری"

مطابق با نمودار شماره (۶) وجود یک رابطه مستقیم بین  $\rho$  و  $S_3$  و همچنین بین  $T_o$  و  $S_3$ ، قابل تایید می‌باشد، البته در مواردی نیز ممکن است این قاعده نقض گردد که می‌توان به وجود اثرات متقابل بین متغیرهای ورودی بر متغیر خروجی  $S_3$  مرتبط دانست. بنابراین با بهره گیری از مدلی مطمئن و پایا برای پیش‌بینی خروجی فرایند (مدل عصبی-آماری) و طراحی سناریوهای مختلف برای ورودی‌ها، می‌توان کیفیت خروجی فرآیند را با توجه به مقادیر پیش‌بینی شده برای  $S_3$  توسط مدل عصبی-آماری پیش‌بینی کرد.

## ۷. نتیجه‌گیری

در این مقاله سعی شد تا از طریق مورد کاوی (فرآیند اسپری دراینگ)، مراحل معماری مدل عصبی فرآیند با استفاده از شبکه MLP بر اساس BP با اتخاذ رویکرد عمومی در مدل‌سازی و همچنین مدل عصبی-آماری فرآیند با اتخاذ رویکرد متumerکز در مدل عصبی با توجه به نتایج تحلیل رگرسیونی، تشریح گردد و پس از برآش مدل با استفاده از ۲۸ تایی ارزیابی، نسبت به ارزیابی پایایی مدل‌ها اقدام شود. این ارزیابی پایایی با استفاده از داده‌هایی مستقل و در دامنه‌ای گسترده‌تر از داده‌های برآش انجام گرفت به طوری که بتواند قدرت درون‌یابی و برون‌یابی مدل‌ها در پیش‌بینی کیفیت خروجی فرآیند را نشان دهد. نتیجه مقایسه ارزیابی پایایی مدل‌های عصبی و عصبی-آماری، به صورت بین

نمونه‌ای، بیانگر قدرت نسبی مدل‌های عصبی-آماری در برون یابی و درون یابی فرآیند اسپری دراینگ بود و با مقایسه نتایج ارزیابی پایابی مدل عصبی و عصبی - آماری با استفاده از شاخص‌های ارزیابی پایابی می‌توان به نقش موثر تحلیل‌های رگرسیونی در بهبود پایابی مدل عصبی فرآیند اسپری دراینگ پی برد؛ هر چند که این بهبود را با ارایه داده‌های آموزش بیشتر می‌توان ارتقاء بخشد. پس از حصول اطمینان از برتری مدل عصبی - آماری با طراحی سناریوهای مختلف برای تنظیم ورودی‌ها و تفسیر و استنتاج روابط بین متغیرها، تا حد زیادی مساله در بسته بودن مدل‌های عصبی رفع و از این طریق کنترل پیش بینانه کیفیت جایگزین روش‌های پر هزینه مبتنی بر سعی و خطأ می‌شود.

### منابع

1. Afzulpurkar N.V., Saeed I.A.K. and Vyawahare V.S. (2006). "Ceramic tile Process Modeling for Quality Improvement Using ANNs", ICIT IEEE International Conference on Industrial Technology.
2. Andersen K., Cook G.E. and Ramaswamy K. (1990). "Artificial Neural Networks Applied to Arc Welding Process Modeling and Control", IEEE Transaction on Industrial Application, Vol 26, pp. 824-830.
3. Ben Brahim S., Smith A.E. and Bopaya B. (1993). "Relating Product Specifications and Performance Data with a Neural Networks Model for Design Improvement", Journal of Intelligent Manufacturing, Vol. 4, pp. 231-243.
4. Chegini G.R., Khazaei J., Ghobadian B. and Goudarzi A.M. (2008) "Prediction of process and product parameters in an orange juice spray dryer using artificial neural networks" Journal of Food Engineering, Vol. 84, pp. 534–543.
5. Coit D.W., Jackson B.T. and Smith A. (1997). "Static neural network process models: Considerations and case studies", Journal of Production Research, Vol. 13, pp. 145-175.
6. Cook D.F., Ragsdale C.T. and Major R.L. (2000). "Combinig a Neural with a Genetic Algorithm for Process Parameter-Ptimization" Engineering Application of Artificial Intelligent, Vol. 13, pp. 391-396.
7. Erginel N. and Ay N. (2005). "How Process Factor Affect Ceramic Tile Color", American Ceramic Society Bulletin, Vol. 84, No. 7, pp. 9201-9203.
8. Edwards P.J., Murray A.F., Papadopoulos G., Wallace A.R., Barnard J. and Smith G. (1999). "The application of Neural Networks to the Paper Making Industry", IEEE Transaction on Neural Networks, Vol. 10, No. 6, pp. 1456-1464.
9. Hornik K., Stinchcombe M. and White H. (1989). "Multilayer Feed Forward Networks Are Universal Approximators", Neural Networks, Vol. 2, pp. 359-366.
10. Hosoz M., Ertunc H.M. and Bulgurcu H. (2007). "Performance Prediction of a Cooling tower Using Artificial Neural Network", Journal of Energy Conversion and Management, Vol. 48, pp. 1349-1359.

11. Lam S.S., Petri K.L. and Smith A.E. (2000). "Prediction and Optimization of a Ceramic Casting Process Using a Hierarchical Hybrid System of Neural Networks and Fuzzy Logic" IEEE Transaction on design and manufacturing, Vol. 32, pp. 83-91.
12. Mehrotra S.P. (1986). Role of Mathematical Modeling in Metallurgy" Bulletin Master Science, Vol. 12, pp. 354-363.
13. Magali R.G., Meireles P.E. (2003). "A Comprehensive Review for Industrial Application of Artificial Neural Networks", IEEE Journal, Vol. 50, pp. 3-12.
14. Martinez S.E., Smith A.E. and Bopaya B. (1993). "Reducing Waste in Casting With a Predictive Neural Model", Journal of Intelligent Manufacturing System, Vol. 4, pp. 23-31.
15. Nascimento C.A.O., Giudici R. and Guardani R. (2000). "Neural Net Based Approach for Optimization of Industrial Chemical Process", Computer and Chemical Engineering, Vol. 24, pp. 2303-2374.
16. Prats-Montalban J.M. and Ferrer A. (2008). "Integration of Color and Textural Information in Multivariate Image Analysis: Defect Detection and Classification Issues", Journal of Chemometrics, Vol. 21, No. 2, pp. 10-23.
17. Ramesh M.C., Rajamanickam R. and Jayaraman S. (1995). "The Prediction of Yarn Tensile Properties by Using Artificial Neural Networks" The Journal of the Textile Institute, Vol. 86, No. 3, pp. 456-469.
18. SACMI Corporation (1989). "From Technology Through Machinery to Kilns for SACMI Tile, Italy", SACMI Press.
19. Saxen H. and Pettersson F. (2006). "Methods for the Selection of Nputs and Structure of Feedforward Neural Networks" Computers and Chemical Engineering, Vol. 30, pp. 1038-1045.
20. Senturk S. and Erginol N. (2005). "Anfis Applied to the Color Problem of Ceramic Tile", American Ceramic Society Bulletin, Vol. 87, No. 8, pp. 123-140.
21. Smith A.E. and Dagli C.H. (1991). "Controlling Industrial Process Through Supervised Feedforward Neural Networks", Computer & Industrial Engineering, Vol. 21, pp. 247-251.

- 22.Smith A.E. and Dagli C.H. (1991). "Relating Binary and Continous Problem Entropy to Back Propogation Network Architecture" In Application of Artificial Neural Networks, Vol. 14, pp. 551-562.
- 23.Su C. and Hsieh K.L. (1998). "Applying Neural Network Approach to Achieve Robust Design for Dynamic Quality Characteristics", International Journal of Quality and Reliability Management, Vol. 15, No. 5, pp. 509-519.
- 24.Sukthomya W., Tannock J. (2005). "The Training of Neural Networks to Model Manufacturing Process", Journal of Intelligent Manufacturing, Vol. 16, pp. 39-51.
- 25.Twomey J. and Smith A. (1998). "Bias and Variance of Validation Models for Function Approximation", Neural Networks under Condition of Sparse Data, IEEE Transaction on System and Cybernetics, Vol. 28, No. 3, pp. 231-239.
- 26.Youssefi Sh., Emam-Djomeh Z. and Mousavi S.M. (2009), Comparison of Artificial Neural Network (ANN) and Response Surface Methodology (RSM) in the prediction of quality parameters of spray-dried pomegranate juice, Drying Technology, Vol. 27, No. 7, pp. 910–917.